

Журнал прикладной химии. 2012. Т. 85. Вып. 1

УДК 621.039.7

## МОДЕЛИРОВАНИЕ АДСОРБЦИОННО-КОАГУЛЯЦИОННОЙ ОЧИСТКИ ЖИДКИХ РАДИОАКТИВНЫХ ОТХОДОВ ОТ ПОВЕРХНОСТНО-АКТИВНЫХ ВЕЩЕСТВ

© М.Г.Иванец<sup>1</sup>, Т.А.Савицкая<sup>1</sup>, Д.Д.Гриншпан<sup>1</sup>,  
Н.Г.Цыганкова<sup>1</sup>, А.Е.Савкин<sup>2</sup>

<sup>1</sup> Научно-исследовательский институт физико-химических проблем, Минск

<sup>2</sup> ГУП МосНПО «Радон», Москва

Поступило в Редакцию 18 февраля 2011 г.

*Проведено моделирование сорбционной очистки жидких радиоактивных отходов специпрачечных атомных электростанций от поверхностно-активных веществ. Исследована адсорбция анионного поверхностно-активного вещества – додецилсульфата натрия на различных угольных сорбентах из сложных по составу водных растворов, содержащих минеральные соли и комплексующие добавки.*

Утилизация радиоактивных отходов является одной из самых серьезных проблем в современной атомной энергетике. По данным работы [1] общий объем отходов, накопленный только в России к 2004 г., составляет около 600 млн м<sup>3</sup>, из них более 250 тыс. м<sup>3</sup> составляют жидкие радиоактивные отходы (ЖРО), хранящиеся на территории атомных электростанций (АЭС) и требующие более глубокого концентрирования в целях повышения экономичности процесса их очистки и утилизации [2, 3].

Особую проблему при этом представляют собой ЖРО специпрачечных АЭС, обработка которых затруднена из-за содержания в них большого количества поверхностно-активных веществ (ПАВ), комплексообразующих добавок [2, 4] и других компонентов моющих средств, используемых при стирке спецодежды. Для удаления этих соединений предлагаются различные методы: предварительное окисление перманганатом калия [5] и реагентом Фентона [6], озонирование [7], мембранные очистки [8, 9], электрокоагуляция [10], а также различные адсорбционные технологии [11–15]. Ранее была показана возможность использования для этих целей специально модифицированных угольных сорбентов на основе активированного угля марки ОУ-А [16].

При проведении адсорбционной очистки сточных вод специпрачечных АЭС следует учитывать, что содержащиеся в таких ЖРО ПАВ способны самопротивольно образовывать в растворах гидрофильные агрегаты – мицеллы, содержащие до 100 молекул ПАВ. Состояние ПАВ в растворе (в виде отдельных

молекул, ионов или их ассоциатов) и их сорбируемость на угле зависят от различных факторов: природы ПАВ, концентрации и температуры их растворов, наличия в растворе электролитов и др. [17].

Реальные сточные воды специпрачечных и санпропускников представляют собой сложные по составу водные растворы переменного состава, содержащие наряду с ПАВ частицы белковой природы, жиры, радионуклиды <sup>134</sup>, <sup>137</sup>Cs, <sup>60</sup>Co, <sup>90</sup>Sr, а также нерадиоактивные минеральные соли в количестве до 15 г·дм<sup>-3</sup>.

Цель данной работы – изучение адсорбции ПАВ как из индивидуальных растворов, так и из растворов, содержащих наряду с ПАВ добавки минеральных солей и комплексообразующих веществ, и моделирование на их основе процесса адсорбционно-коагуляционного удаления ПАВ из водных растворов, близких по составу к ЖРО специпрачечных АЭС.

### Экспериментальная часть

В работе были использованы угольные сорбенты с высокими значениями удельной поверхности и развитой пористой структурой (табл. 1): волокнистый активированный уголь марки АУТ-МИ (Светлогорское РУП «Химволокно», Белоруссия), порошковый минеральный активированный уголь Silcarbon TH-90G (компания «Silcarbon», Германия), порошковый древесный активированный уголь марки ОУ-А (ОАО «Сорбент», Пермь, Россия) и полученный в лабораторных условиях модифицированный сорбент на основе активированного угля ОУ-А [16, 18].

Таблица 1

Адсорбционно-структурные характеристики угольных сорбентов

Сорбент	$S_{\text{уд}}^{\circ}$ , $\text{м}^2 \cdot \text{г}^{-1}$	Объем пор, $\text{см}^3 \cdot \text{г}^{-1}$		
		$V_{\text{ми}}$	$V_{\text{ме}}$	$V_{\text{общ}}$
АУТ-МИ	1035	0.47	0.05	0.52
Silcarbon	950	0.44	0.11	0.55
ОУ-А:				
исходный	920	0.39	0.15	0.54
модифицированный	880	0.39	0.14	0.53

В качестве анионного ПАВ использовался додецилсульфат натрия (ДСН) производства фирмы «Sigma» (Германия) со степенью чистоты 95%. Рабочие концентрации водных растворов ПАВ составляли от 0.1 до 5.0  $\text{г}\cdot\text{дм}^{-3}$ . Для моделирования ЖРО спецпрачечных АЭС и изучения влияния различных добавок на адсорбцию ДСН в раствор дополнительно вводили нитрат кобальта шестиводного и нитрат натрия, этилендиаминетрауксусную (ЭДТК) и щавелевую кислоты (х.ч., ЗАО «Вектон», Россия).

Для изучения адсорбции анионных ПАВ к 100  $\text{см}^3$  раствора ДСН добавляли 0.2 и 4.0 г угольного сорбента и после перемешивания в течение 30 мин при

Таблица 2

Влияние добавок минеральных солей на эффективность удаления ПАВ адсорбционным (А) и адсорбционно-коагуляционным методами (А/К)

Добавка минеральной соли	Метод очистки	Степень извлечения ПАВ, %
Без добавок	A	86.0±0.5
0.08 м. $\text{NaNO}_3$	A	91.8±0.5
2.0 м. $\text{NaNO}_3$	A	93.0±0.5
0.5 м. $\text{Co}(\text{NO}_3)_2$	A	92.2±0.5
Без добавок	A/K	92.5±0.5
0.08 м. $\text{NaNO}_3$	A/K	93.8±0.5
2.0 м. $\text{NaNO}_3$	A/K	94.0±0.5
0.5 м. $\text{Co}(\text{NO}_3)_2$	A/K	94.6±0.5

25°C твердую фазу отделяли с помощью бумажного фильтра «синяя лента», отбрасывая первые 10  $\text{см}^3$  фильтрата.

Содержание ПАВ и ионов кобальта в очищенной воде определяли спектрофотометрически, ЭДТК – комплексонометрическим титрованием по методикам, описанным в работе [19].

Величину удельной адсорбции  $\Gamma$  ( $\text{мг}\cdot\text{г}^{-1}$ ) рассчитывали по формуле

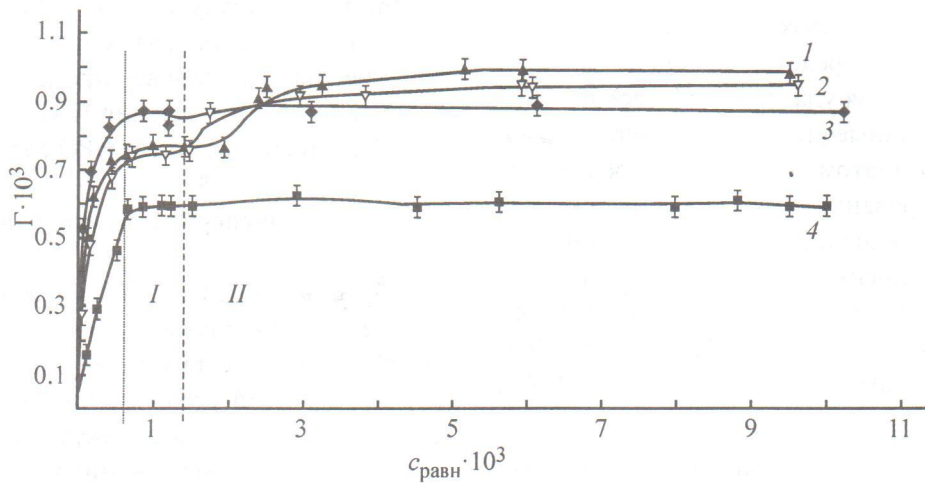


Рис. 1. Изотермы адсорбции ДСН при  $25.0 \pm 0.1^\circ\text{C}$  на АУ.  
 $\Gamma$  – удельная адсорбция ( $\text{моль}\cdot\text{г}^{-1}$ ),  $c_{\text{равн}}$  – концентрация ( $\text{моль}\cdot\text{дм}^{-3}$ ).  
 I – Silcarbon, 2 – ОУ-А, 3 – модифицированный ОУ-А,  
 4 – АУТ-МИ.

$$\Gamma = \frac{(c_{\text{исх}} - c_{\text{равн}})V}{m} \cdot 10^3,$$

где  $c_{\text{исх}}$  и  $c_{\text{равн}}$  – исходная и равновесная концентрации растворов по анализируемому компоненту ( $\text{г}\cdot\text{дм}^{-3}$ ),  $V$  – объем раствора ( $\text{дм}^3$ ),  $m$  – масса сорбента (г).

При проведении адсорбционно-коагуляционной очистки полученную по описанной выше схеме суспензию перед фильтрованием дополнительно обрабатывали стандартным коагулянтом –  $\text{Al}_2(\text{SO}_4)_3$  в количестве  $0.5 \text{ см}^3$  1%-ного водного раствора коагулянта на  $100 \text{ см}^3$  суспензии угля с ПАВ.

Адсорбция ДСН из водных растворов на различных угольных сорбентах описывается изотермами высо-

кого сродства, для которых характерна высокая скорость роста величины адсорбции на начальных участках изотерм (рис. 1). Изотермы адсорбции ДСН на волокнистом микропористом угле АУТ-МИ можно отнести к ленгмюровскому типу с выходом на плато при равновесных концентрациях ПАВ выше  $0.65 \cdot 10^{-3}$  моль $\cdot\text{дм}^{-3}$  (рис. 1, кривая 4). Процессу адсорбционного удаления ДСН другими порошковыми углами соответствуют изотермы ступенчатого типа. При этом наличие первого плато можно объяснить формированием насыщенного мономолекулярного слоя ДСН, второго – переориентаций молекул ПАВ и изменением строения адсорбционного слоя [20].

Сравнительный анализ изотерм адсорбции ДСН на различных угольных сорбентах свидетельствует о

Таблица 3

Степень извлечения ДСН и комплекса Со:ЭДТК из водных растворов

Состав раствора	Степень извлечения, %		
	ДСН	ЭДТК	комплекс Со:ЭДТК
ДСН ( $0.9 \text{ г}\cdot\text{дм}^{-3}$ )	$99.5 \pm 0.5$	–	–
ДСН ( $0.9 \text{ г}\cdot\text{дм}^{-3}$ ) + ЭДТК ( $1 \text{ г}\cdot\text{дм}^{-3}$ )	$99.3 \pm 0.5$	$94.8 \pm 0.8$	–
ДСН + Со:ЭДТК (1:1)	$99.3 \pm 0.5$	–	$85.0 \pm 2.0$
ДСН + Со:ЭДТК (1:1) + ЭДТК ( $1 \text{ г}\cdot\text{дм}^{-3}$ )	$99.2 \pm 0.5$	$80.1 \pm 0.8$	$70.0 \pm 2.0$
ДСН + Со:ЭДТК (1:1) + щавелевая кислота ( $1 \text{ г}\cdot\text{дм}^{-3}$ )	$99.3 \pm 0.5$	–	$66.0 \pm 2.0$
ДСН + Со:ЭДТК (1:1) + $\text{NaNO}_3$ ( $15 \text{ г}\cdot\text{дм}^{-3}$ )	$99.4 \pm 0.5$	–	$85.0 \pm 2.0$
ДСН + Со:ЭДТК (1:1) + ЭДТК ( $1 \text{ г}\cdot\text{дм}^{-3}$ ) + $\text{NaNO}_3$ ( $15 \text{ г}\cdot\text{дм}^{-3}$ )	$99.2 \pm 0.5$	$79.8 \pm 0.8$	$70.0 \pm 2.0$

Таблица 4

Результаты обработки реальных ЖРО модифицированным угольным сорбентом\*

Параметр ЖРО	Кубовый остаток Калининской АЭС			Отходы ГУП МосНПО «Радон»		
	до обработки	после обработки	уменьшение параметра, раз	до обработки	после обработки	уменьшение параметра, раз
Объемная активность, $\text{Бк}\cdot\text{дм}^{-3}$ :						
$\Sigma\beta$	35000	26000	1.4	18000	8700	2.1
$\Sigma\alpha$	–	–	–	250	3.8	65.8
Оптическая плотность	3.04	2.51	1.2	0.13	0.04	3.2
ХПК, $\text{мг O}_2/\text{дм}^3$	8000	40	200	125	<30	4.2

\* Доза угольного сорбента  $5 \text{ г}\cdot\text{дм}^{-3}$ .

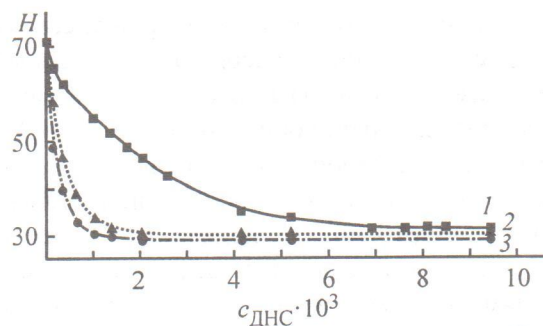


Рис. 2. Изотермы поверхностного натяжения  $H$  ( $\text{мН}\cdot\text{м}^{-1}$ ) водных растворов ДСН при  $25.0\pm0.1^\circ\text{C}$ .

$c_{\text{DSN}}$  – концентрация (моль·дм<sup>-3</sup>).  
1 – без добавок солей; добавка: 2 – 0.1 м.  $\text{NaNO}_3$ ,  
3 – 0.1 м.  $\text{Co}(\text{NO}_3)_2$ .

том, что во всем исследуемом интервале концентраций ПАВ активированные угли марок ОУ-А и Silcarbon проявляют близкую сорбционную активность по отношению к анионным ПАВ (рис. 1, кривые 1, 2). В пределах экспериментальной погрешности для этих образцов совпадают величины предельной адсорбции ДСН. Близкие значения адсорбционных характеристик имеет и модифицированный ОУ-А (рис. 1, кривая 3). При этом для извлечения ДСН из разбавленных растворов более эффективным является использование модифицированного сорбента, а при обработке мицеллярных растворов ПАВ с высоким содержанием органических веществ – исходного немодифицированного угля ОУ-А. Полученные данные позволяют заключить, что в реальных условиях с учетом ценового фактора при обработке ЖРО более целесообразно использовать угли на основе ОУ-А (исходный и модифицированный), стоимость которых значительно меньше стоимости немецкого Silcarbon.

Присутствие в растворе минеральных солей приводит к образованию мицелл при более низкой концентрации ПАВ. Как видно из рис. 2, наличие в водном растворе ДСН нитратов натрия и кобальта приводит к более резкому снижению поверхностного натяжения раствора при увеличении концентрации ПАВ и способствует более раннему образованию мицелл. Так, если значение критической концентрации мицеллообразования (ККМ), определенное по излому изотерм поверхностного натяжения, для чистого ДСН при  $25^\circ\text{C}$  составило  $7.3\cdot10^{-3}$  моль·дм<sup>-3</sup>, то в 0.1 м. растворах нитратов натрия и кобальта оно уменьшилось в 5 и 8 раз ( $1.4\cdot10^{-3}$  и  $0.9\cdot10^{-3}$  моль·дм<sup>-3</sup> для нитратов натрия и кобальта со-

ответственно). Снижение ККМ в данном случае обусловлено подавлением диссоциации ионогенных групп ПАВ при повышении ионной силы раствора.

При изучении адсорбционной очистки водных растворов, содержащих ДСН, нитрат натрия и нитрат кобальта, с использованием модифицированного ОУ-А установлено, что присутствие неорганических солей в количестве  $0.5\text{--}2.0$  моль·дм<sup>-3</sup> не только не ухудшает эффективность адсорбционной очистки от ПАВ, а, напротив, приводит к увеличению адсорбции на  $10\text{--}20$  мг·г<sup>-1</sup> (рис. 3).

Для более полного удаления ДСН с использованием модифицированного сорбента, который образует в воде высокодисперсные суспензии [18], целесообразно дополнительное применение коагулянта (табл. 2). Установлено, что высокое содержание солей (порядка  $100$  г·дм<sup>-3</sup>) не ухудшает эффективности не только адсорбционной, но и адсорбционно-коагуляционной очистки воды. Степень извлечения ПАВ в широком интервале концентраций нитратов натрия и кобальта составляет при этом не менее 90%. При адсорбционной очистке растворов, содержащих одновременно ДСН и ионы  $\text{Co}^{2+}$ , выяснилось также, что присутствие ДСН в количестве, превышающем эквимолярное содержание кобальта, приводит к увеличению адсорбции последнего. Так, несмотря на то что в соответствии с литературными данными катионы кобальта в водных растворах не образуют ассоциатов с анионными ПАВ [21], при соотношении

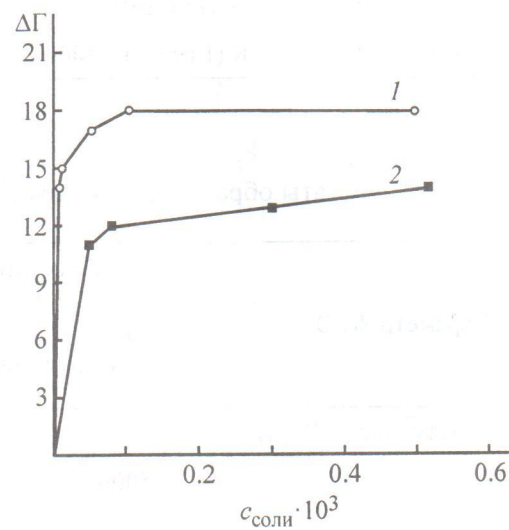


Рис. 3. Зависимость величины адсорбции ДСН  $\Delta\Gamma = \Gamma^* - \Gamma_{\text{DSN}}$  от концентрации неорганических солей  $c_{\text{soli}}$  (моль·дм<sup>-3</sup>).  
Модифицированный сорбент: 1 –  $\text{Co}(\text{NO}_3)_2$ , 2 –  $\text{NaNO}_3$ .

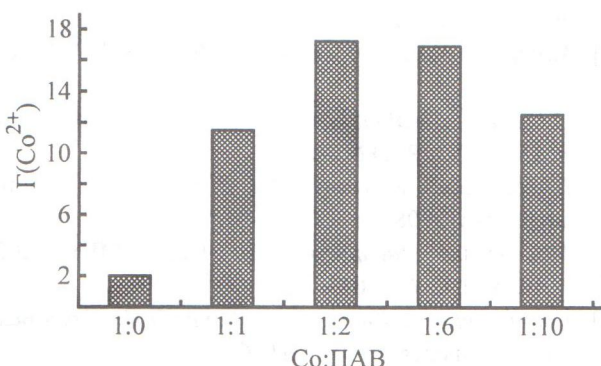


Рис. 4. Зависимость величины адсорбции ионов  $\text{Co}^{2+}$   $\Gamma(\text{Co}^{2+})$  (мг·г<sup>-1</sup>) от мольного соотношения Со:ПАВ.

Со:ПАВ от 1:2 до 1:6 адсорбция кобальта увеличивается в 8 раз и достигает  $17.0 \pm 2.0$  мг·г<sup>-1</sup> (рис. 4).

Исследование растворов более сложного состава показало, что при достаточном количестве сорбента (порядка 40 г·дм<sup>-3</sup>) из ЖРО могут удаляться не только ПАВ, но и комплексообразующие добавки и органические соединения кобальта (табл. 3). Так, при совместном присутствии ДСН и ЭДТК использование модифицированного угольного сорбента позволяет практически полностью удалить эти соединения из раствора.

Введение в такой раствор ионов кобальта сопровождается образованием устойчивого комплекса Со:ЭДТК ( $K_{\text{нест}}$  при 20°C составляет  $7.9 \cdot 10^{-17}$  [22]), что в пересчете на отдельные компоненты приводит к увеличению адсорбции кобальта и уменьшению адсорбции ЭДТК. Последнее может быть объяснено архитектурой образующегося комплекса, в котором карбоксильные группы ЭДТК оказываются связанными в хелатную структуру с располагающимся в центре катионом кобальта, что приводит к снижению энергии взаимодействия этого комплексного соединения с поверхностью сорбента. По мере нарастания содержания свободной ЭДТК, а также при введении в раствор щавелевой кислоты емкость угля по комплексу Со:ЭДТК снижается приблизительно в 1.2–1.3 раза, что может свидетельствовать о конкуренции этих соединений за активные центры на поверхности сорбента. При этом высокая степень извлечения свободной ЭДТК во всех исследованных случаях указывает на предпочтительность ее адсорбции по сравнению с комплексным соединением. В то же время, как следует из данных табл. 3, ПАВ и минеральные соли, в частности  $\text{NaNO}_3$ , практически не влияют на сорбцию комплекса Со:ЭДТК. В свою

очередь степень извлечения ДСН при избыточном количестве сорбента во всех исследованных случаях остается практически одинаковой и достигает  $99.5 \pm 0.5\%$ .

Результаты испытаний модифицированного угольного сорбента на реальных отходах ЖРО (табл. 4), проведенных на ГУП МосНПО «Радон», подтверждают целесообразность его использования для утилизации ЖРО с высоким содержанием органических веществ, количество которых оценивалось по показателю химического потребления кислорода (ХПК). Как видно из данных табл. 4, в результате обработки исследованных ЖРО модифицированным угольным сорбентом удается снизить в 4 раза ХПК, т.е. практически полностью удалить органические вещества, затрудняющие очистку ЖРО по традиционной схеме, в 1.4–2.1 раза снизить объемную  $\beta$ -активность растворов и в 65 раз уменьшить суммарную  $\alpha$ -активность.

## Выводы

1. При исследовании адсорбция поверхностно-активных веществ из водных растворов, моделирующих сточные воды спецпрачечных АЭС, на различных угольных сорбентах показано, что для удаления поверхностно-активных веществ наиболее эффективными и целесообразными с экономической точки зрения являются порошковые угольные сорбенты на основе активированного угля марки ОУ-А.
2. Установлено, что при достаточном количестве сорбента из жидких радиоактивных отходов могут удаляться не только поверхностно-активные вещества, но и комплексообразующие добавки и органические соединения кобальта. При этом адсорбционному извлечению кобальта способствуют образование им комплексного соединения с этилендиаминетрауксусной кислотой.
3. Предлагаемая адсорбционно-коагуляционная технология позволит значительно увеличить эффективность очистки сточных вод спецпрачечных атомных электростанций, в ряде случаев отказаться от используемых в настоящее время небезопасной и дорогостоящей стадии озонирования, малопроизводительного обратного осмоса, снизить количество ионообменных смол, необходимых для полного извлечения радионуклидов из жидких радиоактивных отходов, и тем самым уменьшить объем захораниваемых радиоактивных отходов.

### Список літератури

- [1] Меньшиков В.Ф. // Аналитический ежегодник «Россия в окружающем мире». М.: Модус\_К-Этерна, 2005. С. 81–127.
- [2] Кульський Л.А., Страхов Э.Б., Волошинова А.М. Технология водоочистки на атомных энергетических установках. Київ: Наук. думка, 1986. 272 с.
- [3] Шульга Н.А., Соколова И.Д. // Атомн. техника за рубежом. 2008. № 9. С. 3–19.
- [4] Guerrero A., Goñi S., Allegro V.R. // J. Hazard Mater. 2009. V. 161. N 2–3. P. 1250–1254.
- [5] Руденко Л.И., Джузекса О.В., Хан В.Е. // Доповіді Нац. акад. наук України. 2008. № 5. С. 151–154.
- [6] Perkowski J., Jóźwiak W., Kos L., Stajszczyk P. // Fibres and Text. East. Eur. 2006. V. 14. N 5. P. 114–119.
- [7] Омельчук В.В., Стакиев М.Р., Савкін А.Е. и др. // Безопасн. окружн. среды. 2007. № 3. С. 34–38.
- [8] Демкін В.І., Адамович Д.В., Амелін В.С., Пантелеєв В.І. // Критические технологии. Мембрани. 2002. № 15. С. 10–13.
- [9] Pabby A.K. // Membr. Technol. 2008. V. 2008. N 11. P. 9–13.
- [10] Onder E., Koparal A.S., Ogutveren U.B. // Separ. a. Purif. Technol. 2007. V. 52. N 3. P. 527–532.
- [11] Мясоедова Г.В., Нікашина В.А // Рос. хим. журн. 2006. № 5. С. 55–63.
- [12] Matsuo T., Nishi T. // Carbon. 2000. V. 38. N 5. P. 709–714.
- [13] Omar H.A., Moloukhia H. // J. Hazard. Mater. 2008. V. 157. N 2–3. P. 242–246.
- [14] Шилина А.С., Меленчук В.К. // Изв. вузов. Ядерная энергетика. 2008. № 3. С. 24–30.
- [15] Маслов А.А., Авсарагов Х.Б. // Вестн. МГТУ. 2007. Т. 10. № 4. С. 621–623.
- [16] Гриншпан Д.Д., Іванець М.Г., Бахир Н.К. и др. // Безопасн. жизнедеят. 2009. № 9. С. 13–17.
- [17] Ланге К.Р. Поверхностно-активные вещества: Синтез, свойства, анализ и применение. СПб: Професия, 2007. 240 с.
- [18] Савицкая Т.А., Невар Т.Н., Гриншпан Д.Д. // Коллоид. журн. 2006. Т. 68. № 1. С. 1–7.
- [19] Лурье Ю.Ю. Аналитическая химия промышленных сточных вод. М.: Химия, 1984. 448 с.
- [20] Когановский А.М., Клименко Н.А. Физико-химические основы извлечения поверхностно-активных веществ из водных растворов и сточных вод. Київ: Наук. думка, 1978. 176 с.
- [21] Чернова Р.К. // Изв. Саратов. ун-та. Химия, биология, экология. 2005. Т. 5. Вып. 1. С. 33–40.
- [22] Краткий справочник физико-химических величин. М.: СпецЛіт, 1998. 232 с.